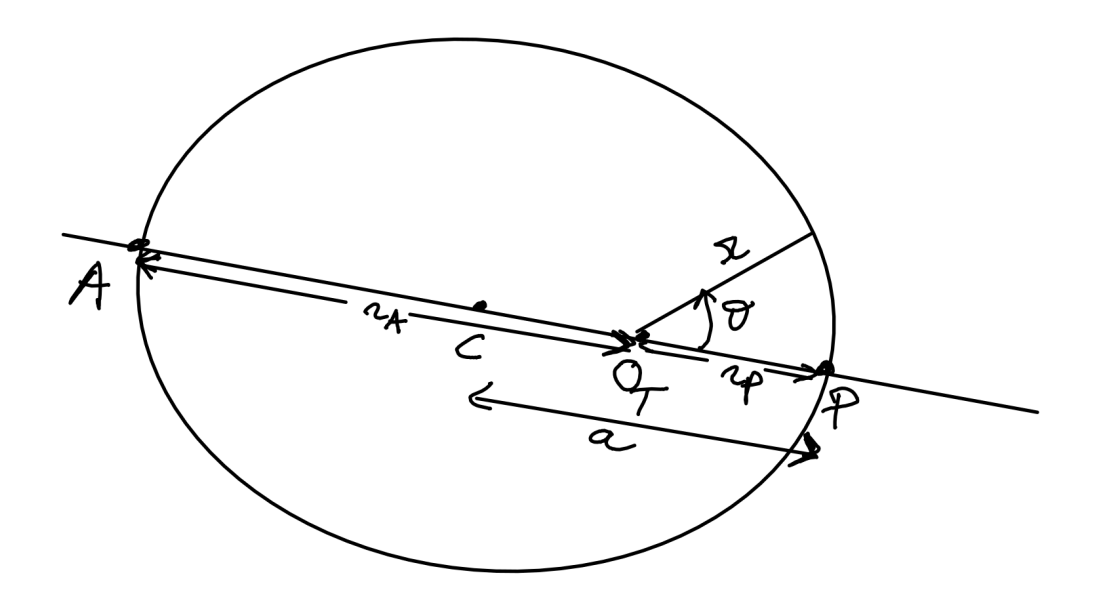
# Corrigé du devoir à la maison n°8

### Partie III : Peser la Terre

## III.1 Principe

- Q22. Le poids est quelque chose de relatif à l'astre sur lequel on le définit, alors que la masse est une constante associée à un corps. C'est cette constante que l'on mesure par l'interaction gravitationnelle.
- Q23. Le schéma demandé est donné ci-après



Graphiquement on voit facilement que  $2a = r_A + r_P$ .

Q24. Il suffit de tracer  $a^3$  en fonction de  $T^2$ . On obtient une droite de pente  $\alpha = \frac{GM_T}{4\pi^2}$  qui permet de remonter à  $\alpha$ .

### III.2 Étude de données orbitales

Q25. DATA[i] est une liste contenant les données, sous forme d'une liste, relatives au satellite d'indice i. Le premier élément de cette liste (celui d'indice 0) est le champ appelé numero et qui est un entier de 1 à 9.

Ce bout de code crée donc à partir d'une liste vide, via la fonction append, une liste contenant donc les entiers identifiant les satellites.

Q26. On peut s'inspirer du code précédent et écrire (la période est le troisième champ, d'indice 2)

T\_sat = []
for i in range(9):
 T\_sat.append(DATA[i][2])

Q27. On peut se poser la question de savoir pourquoi pour cette liste là on écrit une fonction et pas pour les précédentes...Peu importe... Par ailleurs il faut supposer qu'on suit le satellite sur au moins une période de manière à ce que dans le tableau des altitudes il y ait l'altitude minimale et l'altitude maximale...

```
from math import pi

def demiGrandAxe(DATA):
    R_T = 6.37e3 # Rayon de la Terre (en km)
    for i in range(9):
        h_min = min(DATA[i][6])
        h_max = max (DATA[i][6])
        a_sat.append(R_T + (h_min + h_max) / 2)
    return a_sat
```

Q28. Je propose une version vectorisée... Mais on peut faire avec des boucles...

```
def XY (T_sat, a_sat):
    X = np.array(T_sat) ** 2
    Y = np.array(a_sat) ** 3
    return (x, y)
```

Q29. On utilise la fonction polyfit :

```
(X, Y) = XY (T_sat, a_sat)
p = np.polifit(X, Y, 1)
[p[0], p[1]]
```

On s'attend à une valeur de beta nulle puisqu'il y a proportionnalité entre X et Y (ce qui ne sera pas le cas en pratique)

- Q30. A = X, B = Y, C = X, D = alpha \* X + beta, E = carrée de la période en min  $^{\circ}$  2, F = cube de demi-grand axe en km  $^{\circ}$  3.
- Q31. Il manque les grandeurs sur les axes et les unités correspondantes. Il n'y a pas non plus de tracé de barres d'erreur.
- Q32. Certaines données sont trop proches et apparaissent sous la forme d'un point unique.

#### III.3 Précision du résultat

- Q33. On peut raisonnablement prendre N\_sim = 10000
- Q34. G:[], H:[], I:[], J:[], K:[] et L:[] pour les initialisations de toutes les listes.

```
L: N\_sim, M: a\_sat, N: T\_sat, 0: a\_tir ** 3, P: T\_tir ** 2.
```

Q: Y\_tir et R: X\_tir (pour ce qui nous intéresse ici ces deux lignes sont inutiles...)

S : X\_tir, U : Y\_tir pour la régression linéaire.

V : p[0], W : p[1] pour les paramètres alpha et beta de la i-ième simulation.

Z: pour le calcul de la masse de la Terre pour la i-ème simulation.

Q35. Il suffit d'utiliser les fonctions mean et std pour calculer les valeurs moyennes et les écart-types, soit

```
M_T = np.mean(List_MT, axis = 0)
u_M = np.std(List_MT, axis = 0, ddof = 1)
beta_sim = np.mean(List_beta, axis = 0)
u_beta = np.std(List_beta, axis = 0, ddof = 1)
```

Q36. On calcule le z-score. Si celui est en valeur absolue inférieure à 2, alors les résultats obtenus sont compatibles avec la valeur publiée.

On calcule ainsi  $z=\left|\frac{M_T-M_{T,sim}}{\sqrt{u_\beta^2+u_T^2}}\right|$  (je note  $M_T$  la valeur publiée dans la littératre et

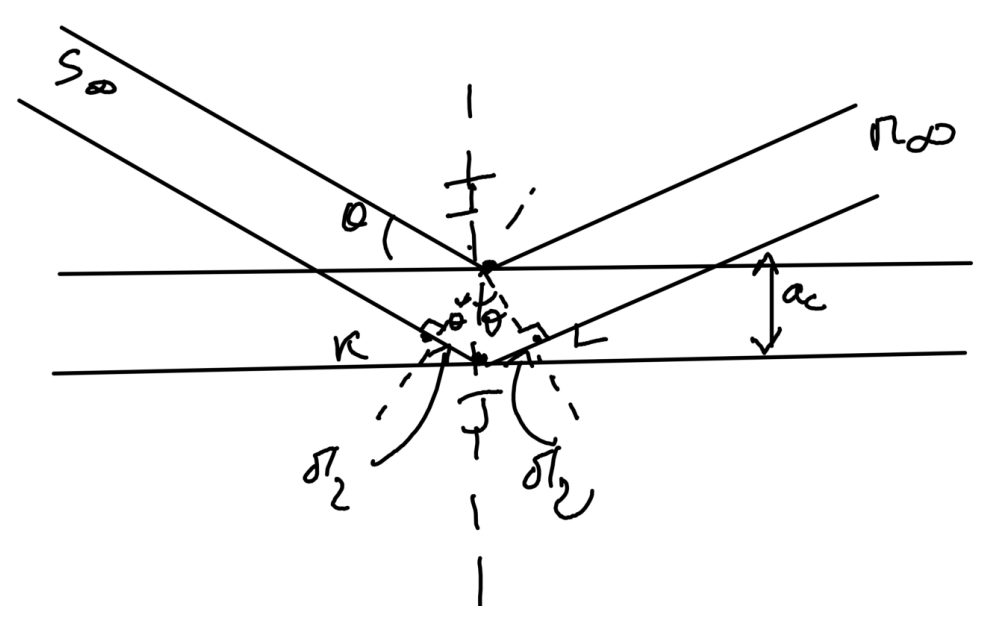
 $M_{T,sim}$  celle obtenue par les simulations). L'application numérique donne z=3,68>2. Il y a donc incompatibilité.

Aviez-vous remarqué qu'il manque l'unité pour  $u_M$ ...?

# Partie IV: Stocker l'énergie électrique

# IV.4 Étude cristallographique du nickel

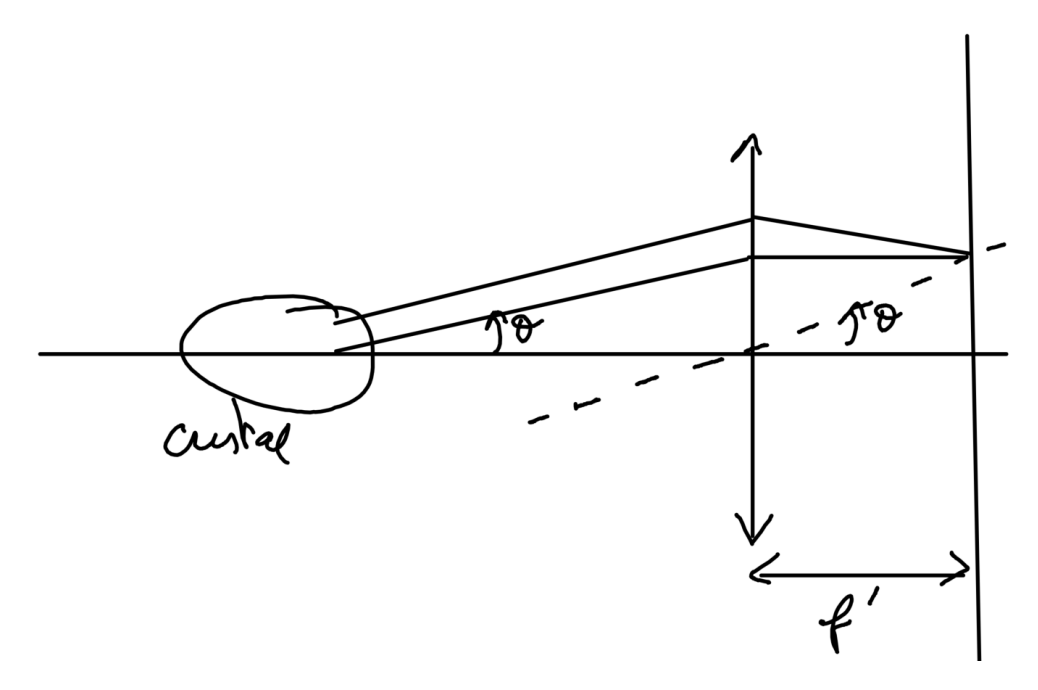
- Q37. Les deux rayons sont issus d'une même source monochromatique. Il sont donc cohérents (et synchrones, i.e.  $\omega = \omega_1 = \omega_2$ .
- Q38. Un calcul élémentaire (cf. figure ci-dessous) donne  $\delta = (KJ) + (JL) = 2a_c \sin \theta$ , d'où  $\Delta \varphi(M) = \frac{4\pi}{\lambda} a_c \sin \theta$ . Ne pas oublier d'introduire une source imaginaire à l'infini  $(M_\infty)$ , d'invoquer le principe de retour inverse de la lumière et le théorème de Malus.



Q39. La définition de l'intensité est particulièrement folklorique... Elle est plutôt égale à la moyenne temporelle du carré de l'amplitude résultante...

Le calcul classique du cours donne ainsi  $I\left(\theta\right)=2I_{0}\left(1+\cos\left(\frac{4\pi}{\lambda}a_{c}\sin\theta\right)\right)$  en posant  $I_{0}$  l'intensité transportée par chacune des ondes individuellement.

- Q40. Les angles recherchés sont tels que  $\frac{4\pi}{\lambda}a_c\sin\theta=2k\pi$  avec  $k\in\mathbb{Z}$ , soit  $\sin\theta=\frac{k\lambda}{2a_c}$ . Il est clair que si l'on trouve toutes ces valeurs de  $\sin\theta$  on pourra par une régression linéaire par exemple remonter à  $a_c$ .
- Q41. Il suffit de placer un écran dans le plan focal image d'une lentille convergente comme sur le schéma suivant.



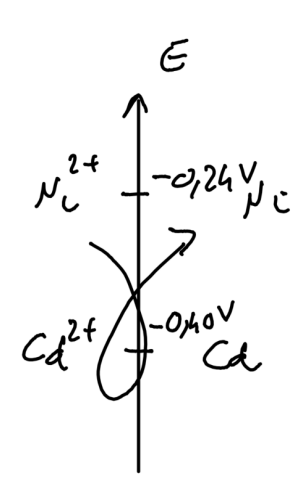
Q42. L'appareil qui sert à mesure des angles est un goniomètre (du grec ancien  $\gamma\omega\nu\iota\alpha$ , gônía ("angle"))

Q43.  $a_c = \frac{\lambda}{2 \sin \theta_1} = 353 \,\mathrm{pm}$ . C'est typiquement la distance entre deux atomes dans un cristal.

# IV.5 Accumulateur cadmimum-nickel

Q44.  $\text{Ni}^{2+} + 2 \, \text{e}^- \longrightarrow \text{Ni}$  et  $\text{Cd}^{2+} + 2 \, \text{e}^- \longrightarrow \text{Cd}$ . Les deux métaux Ni et Cd sont les réducteurs, et les deux ions les oxydants.

Q45. Le potentiel du nickel étant supérieur à celui du cadmium la réaction thermodynamiquement favorisée est celle de la réduction de Ni<sup>2+</sup> par Cd. C'est ce qu'illustre la règle du  $\gamma$  sur la figure suivante :



Q46. Avant que la pile ne débite les potentiels sont donnés par la formule de Nersnt.

$$E_1 = E_1^0 + \frac{0.06}{3} \log[\text{Ni}^{2+}] = -0.28 \,\text{V et } E_2 = E_2^0 + \frac{0.06}{3} \log[\text{Cd}^{2+}] = -0.49 \,\text{V}.$$

L'électrode 1 de potentiel plus élevé est le pôle +, l'autre le pôle -.

Le voltmètre idéal mesure une différence de potentiel  $U=0.21\,\mathrm{V}.$ 

Q47. Le courant va circuler à l'extérieur du circuit de l'électrode 1 vers l'électrode 2.

Q48. Quand la pile ne débit plus les potentiels des deux électrodes sont égaux,  $E_1 = E_2$ . Ceci permet de calculer la constante d'équilibre de la réaction chimique Ni<sup>2+</sup> + Cd  $\longrightarrow$   $2(E_1^0 - E_2^0)$ 

Ni+Cd<sup>2+</sup> :  $K_0 = 10$   $\frac{2(E_1^0 - E_2^0)}{0.06} = 10^{5.3}$ . On pourra considérer la réaction comme totale.

Un tableau d'avancement (dans lequel on considèrera que les solides sont en excès) montre que le réactif limitant est  $\mathrm{Ni}^{2+}$ , avec une quantité de matière  $n_1 = Vc_1 = 5 \times 10^{-3}$  mol. L'avancement final est donc  $\xi = n_1$ . Comme initialement il y avait  $n_2 = c_2V = 1 \times 10^{-4}$  mol moles de  $\mathrm{Cd}^{2+}$  à la fin il y en a  $51 \times 10^{-4}$  mol, soit une concentration  $[\mathrm{Cd}^{2+}] = 5.1 \times 10^{-2}$  mol/L.

Les métaux sont encore en excès.

On peut calculer la concentration finale en Ni<sup>2+</sup> grâce à la constante d'équilibre : [Ni<sup>2+</sup>] =  $\frac{[\mathrm{Cd}^{2+}]}{K^0} = 2,56 \times 10^{-7} \,\mathrm{mol/L}$ .

On peut alors calculer par la formule de Nersnt la valeur commune des deux potentiels  $E=E_1=E_2=-0.44\,\mathrm{V}.$ 

- Q49. Chaque mole d'avancement correspond au passage de 2 moles d'électrons. Pendant la durée de la vie de la pile une charge  $2\xi \mathcal{F} = I\Delta t$  est passée entre les deux électrodes (en supposant l'intensité constante, ce qui est hautement criticable). Il vient donc  $\Delta t = \frac{2\xi \mathcal{F}}{I} = 19\,300\,\mathrm{s}$ , soit un peu plus de cinq heures.
- Q50. Un milieu basique est un milieu dans lequel les ions  $OH^-$  dominent les ions  $H_3O^+$ , ce qui fait que le pH est supérieur à 7.
- Q51. Avec les techniques habituelles on détermine que dans  $Ni_2O_{3s}$  Ni est au degré d'oxydation +III, alors que dans  $Ni(OH)_{2(s)}$  il est à +II.

Dans  $Cd(OH)_{2,(s)}$   $Cd_{(s)}$  est au degré d'oxydation +II, alors que dans  $Cd_{(s)}$  il est à 0. Ce qui permet d'équilibre la réaction selon  $Ni_2O_{3,(s)}+Cd_{(s)}+3H_2O\longrightarrow 2Ni(OH)_{2(s)}+Cd(OH)_{2(s)}$